

Б.П. Волочанська

Термодинамічні параметри кристалів плюмбум сульфіду у кубічній фазі

ДВНЗ «Прикарпатський національний університет імені Василя Стефаника»,
вул. Шевченка, 57, Івано-Франківськ, 76018, Україна, E-mail: bvolochanska@i.ua

На основі аналізу кристалічної та електронної будови у роботі побудовано кластерні моделі кубічної модифікації плюмбум сульфіду. За допомогою комп'ютерних розрахунків в рамках теорії методу функціоналу густини (DFT) обчислено термодинамічні параметри кристалів та їх температурні залежності: енергію ΔE та ентальпію ΔH , вільну енергію Гіббса ΔG , теплоємності при сталому тиску C_P та об'ємі C_V , ентропію ΔS . Одержано аналітичні вирази температурних залежностей представлених термодинамічних параметрів, які були апроксимовані із квантово-хімічних розрахункових точок, а результати порівняно із відомими теоретичними даними.

Ключові слова: DFT, кластерні моделі, квантово-хімічні розрахунки, термодинамічні властивості, напівпровідникові IV-VI матеріали, сульфід свинцю.

Стаття поступила до редакції 07.05.2015; прийнята до друку 15.09.2015.

Вступ

Про унікальні властивості плюмбум сульфіду було відомо вже давно. Яскравим свідченням цього може служити його використання у перших термоелектричних генераторах.

Ефективне використання цієї сполуки зумовлене низькою тепlopровідністю при високих температурах [1], багатоеліпсоїдальним характером їх енергетичного спектру ($N=4$), низькими значеннями тепlopровідності гратки (~2,092 Дж/м·К) при порівняно високій рухливості носіїв (~0,1 м²/В с), великими значеннями діелектричної проникності, невеликими значеннями ширини забороненої зони (0,41 eВ [2]) [3] та позитивною залежністю її зміни від зміни температури [4], що безумовно є факторами, які сприяють ефективному використанню даного матеріалу у термоелектриці. Важливо зазначити, що величина ширини забороненої зони у плюмбум сульфіді найвища серед сполук халькогенідів плюмбуру. Широкому промисловому використанню цього матеріалу сприяє його дешевизна і наявність природної сполуки – мінералу геленіту. Вищих показників термоелектричної ефективності досягають при комбінації плюмбум халькогенідів у твердих розчинах.

На даний момент ця сполука використовується у термоелектриці, оптоелектроніці і приладах

спінtronіки, особливо у довгохвильовому діапазоні, для виготовлення інфрачервоних діодних лазерів і термофоторольтайніх перетворювачів енергії [3]. Такий широкий спектр застосування матеріалів потребує поглибленого дослідження їх властивостей при різних умовах та виявлення залежності поведінки властивостей даних кристалів із зміною зовнішніх чинників. Інтерес до таких досліджень зумовлений тим, що часто дані є неоднозначними або взагалі відсутні.

Для вирішення такого роду завдань зручними і доволі точними підходами є моделювання термодинамічних властивостей кристалів з використанням розрахунків із перших принципів. Дані методи користуються популярністю на протязі майже чотирьох десятиліть і зарекомендували себе як такі, що дозволяють за допомогою порівняно незначних затрат машинного часу і мінімального набору вхідних даних отримувати достовірні відомості стосовно властивостей кристалічних тіл та здійснювати їх теоретичну інтерпретацію.

Використання методів комп'ютерної квантової хімії для наших розрахунків зумовлене насамперед можливістю дослідження близького порядку розташування атомів у реальних кристалах та аналізу зумовлених ним властивостей. Також важливо вказати, що інтенсивні дослідження атомних кластерів як складових частин нових

наноструктурних матеріалів викликані перспективою застосування у нанотехнологіях.

I. Методика розрахунку

У наближенні жорсткої молекули [5] ентальпія утворення Н кристалів визначається як:

$$H \approx H_{elec} + H_{vib}^0 + E_{vib}(T) + H_{rot}(T) + H_{trans}(T) + RT, \quad (1)$$

де H_{elec} – електронна складова ентальпії, H_{vib} – коливна складова ентальпії, H_{vib}^0 – ентальпія нульових коливань, H_{rot} – обертальна складова ентальпії, H_{trans} – поступальна складова ентальпії, R – універсальна газова стала, T – температура. Аналогічним чином розраховувалася енергія утворення ΔE .

Ентропія кристалу у загальному випадку визначається сумою складових:

$$\Delta S = S_{trans} + S_{rot} + S_{vib} + S_{elec} - nR[\ln(nN_0) - 1], \quad (2)$$

де N_0 – стала Авогадро, n – число молів молекул, M – маса молекули.

Розрахувавши вклади енергії нульових коливань і окремих ентропійних членів молекул реагентів A (Pb) і B (S), можна обчислити вільну енергію Гіббса кристалу при заданій температурі T .

$$\begin{aligned} \Delta G &= H_A - H_B + \frac{1}{2} \sum_{i \in A} h v_i - \frac{1}{2} \sum_{j \in B} h v_j - \\ &- T(S_{vibr}^A - S_{vibr}^B + S_{rot}^A - S_{rot}^B + S_{trans}^A - S_{trans}^B). \end{aligned} \quad (3)$$

При обчисленні ΔE , ΔH , ΔS , ΔG , C_V та C_P використовувалася наступна методика врахування початкових умов, яка показана на прикладі енергії утворення ΔE . Спочатку розраховували енергію утворення ΔE_A кластера A (рис. 1, А) згідно [5]:

$$\Delta E_A = E - \sum E_{el} + \sum E_{at}, \quad (4)$$

де E – загальна енергія системи; E_{el} – електронна енергія атомів, що складають систему (у атомарному стані); E_{at} – енергія атомізації атомів. Загальна та електронна енергія системи бралися з результатів розрахунку, а всі інші величини – із довідниківих матеріалів [6]. Аналогічним чином були розраховані енергії утворення ΔE_B , ΔE_C та ΔE_D кластерів B, C та D (рис. 1 B, C, D).

На основі обчислених коливальних спектрів проведено розрахунок термодинамічних характеристик кристалів PbS при різних температурах (рис. 2-4).

У результаті квантово-хімічних розрахунків отримали систему рівнянь, яка має наступний вигляд:

$$\begin{cases} 8x_3 + 24x_4 + 24x_6 = A, \\ 24x_3 + 24x_5 + 8x_6 = B, \\ 8x_3 + 12x_4 + 6x_5 + x_6 = C, \\ 8x_3 = D; \end{cases} \quad (5)$$

де x_3 , x_4 , x_5 , x_6 – значення відповідних величин для три-, чотири-, п'яти- та шестикоординованих атомів відповідно.

Розв'язавши дану систему відносно x_6 , отримаємо наступне співвідношення:

$$x_6 = \frac{2A - B}{4} + \frac{5D}{4} - C, \quad (6)$$

де A, B, C, D – значення термодинамічних величин для відповідних кластерів.

Теплоємність при сталому об'ємі C_V (аналогічно для C_P), згідно вказаних наблизень, визначається наступною формулою:

$$C_V = C_{V(trans)} + C_{V(rot)} + C_{V(vib)}. \quad (7)$$

Вклади поступальних ступенів вільності обчислени без даних квантово-хімічних розрахунків, так як залежать від зовнішніх впливів (T, P) і маси молекули m.

Вклад коливальної складової у гармонічному наближенні, згідно до якого симетричне, відносно положення рівноваги зміщення ядер, приводить до симетричної зміни потенціальної енергії та визначається виразом:

$$C_{V(vibr)} = R \left(\frac{hc}{kT} \right)^2 \sum_i \frac{g_i v_i^2 e^{-\frac{hc v_i}{kT}}}{\left[1 - e^{-\frac{hc v_i}{kT}} \right]^2}. \quad (8)$$

де g_i – ступінь виродження i-го коливання.

Згідно [7] температурна залежність теплоємності кристалічних структур визначається наступною функцією:

$$C = a + b \cdot 10^{-3} T - c \cdot 10^5 T^{-2}, \quad (9)$$

де a, b, c – сталі коефіцієнти, які залежать від типу кристалічної гратки і хімічної сполуки.

Для порівняння отриманих нами результатів розглянуто моделі, запропоновані [1], [3] і [8] та експериментальні дані [9]. Теоретичний розрахунок теплоємності у [1] проводився прямим методом постійної сили (direct force-constant method). Розрахунки теплоємностей у [3] здійснювали за допомогою програми WIEN2K розробленої Blaha. Ця програма використовує метод повного потенціалу лінеаризованих приєднаних плоских хвиль (FP-LAPW) на основі теорії функціоналу густини. Розрахунки у [8] проводились в рамках теорії функціоналу густини. Вимірювання молярної теплоємності у [9] проводились на зразках PbS масою 0,034 кг у калориметрі з високим вакуумом під ковпаком, температура якого підтримувалася постійною. Калориметром в даному експерименті слугує циліндр 0,03 м довжини і 0,03 м в діаметрі з запаяним куполоподібним дном. Верхня частина закрита сплавом Вуда, до якого прикріплена тонкостінна мідно-нікелева трубка зовнішнім діаметром 0,001 м і довжиною 0,2 м. В якості нагрівачів використаний константановий дріт, а термометра – платиновий дріт. Температурний дрейф записувався до і після встановлення внутрішньої рівноваги. Вимірювання проводились в діапазоні температур від 20 до 260 К. В джерелі [10] вказані значення ізобарної молярної теплоємності, виміряні на тепловій аналізуючій установці (Dupont 1090B, USA), які також добре узгоджуються з отриманими

нами значеннями.

II. Моделі кластерів

Сучасний науково-технічний прогрес значною мірою завдячує своїм результатам розвитку теоретичних методів досліджень. Проте, ці успіхи були б неможливими без досягнень новітніх комп’ютерних технологій. Насамперед, вони сприяють удосконаленню модельних досліджень та є надзвичайно зручними і задовільняють вимоги щодо точності в цілях розширення та поглиблення відомостей про будову та властивості речовини.

Інформативність отримуваних результатів значною мірою зростає при використанні квантово-хімічних методів для побудови структурних моделей кристалів. Кластерне наближення у рамках методу *ab initio*, в цьому плані, виявилося найбільш придатним та зручним методом. Обчислення здійснювались з використанням програмного пакету Firefly (PCGamess), в якому розрахунки проводяться в рамках теорії функціоналу густини з використанням гібридного базисного набору B3LYP та SBKJC параметризації. Візуалізацію структур проводили з використанням Chemcraft.

Для модельних досліджень обрано структуру кам’яної солі, оскільки халькогеніди свинцю кристалізуються у кубічній гранецентрованій гратці типу NaCl (структурний тип В1) із параметром гратки $a=5,936 \text{ \AA}$ [10] для сполуки PbS, просторова група $Fm\bar{3}m - O_h^5$. Таке положення атомів можна пояснити належністю халькогенідів плюмбуму до полярних напівпровідників, що характеризуються іонно-ковалентним типом зв’язку.

Обрана структура дозволяє будувати кластери без зачленення додаткових атомів, що вводяться для компенсування обірваних зв’язків. Кристалічні структури плюмбуму сульфіду були досліджені з використанням чотирьох моделей: на 64, 56, 27 та 8 атомів. При побудові кластерів основну увагу звертали на симетричність та електричний заряд кластерів для усунення спотворення структури за рахунок дії поверхневих сил. Даний підхід з успіхом був використаний при побудові кластерних моделей сполук II-VI [11], [12].

Перша з кластерних моделей (загальна формула $Pb_{32}S_{32}$, рис. 1, А) є базовою для розрахунку просторової та електронної будови, а також термодинамічних величин. Даною моделлю складається із 64 атомів і містить 4 пари шестикоординованих атомів, 12 – п’ятикоординованих, 12 – чотирикоординованих і 4 трикоординовані пари атомів.

Другий кластер має загальну формулу $Pb_{28}S_{28}$ (рис. 1, В) складається із 56 атомів. Він містить 4 пари шестикоординованих атомів, 12 – п’ятикоординованих, 12 пар трикоординованих атомів.

Модель третього кластера побудована із 27 атомів і має хімічну формулу $Pb_{14}S_{13}$ (рис. 1, С). До

даної структури входять один шестикоординований атом, 6 пар п’ятикоординованих, 12 – чотирикоординованих і 8 пар трикоординованих атомів.

Четвертий кластер із формуловою Pb_4S_4 (рис. 1, D)

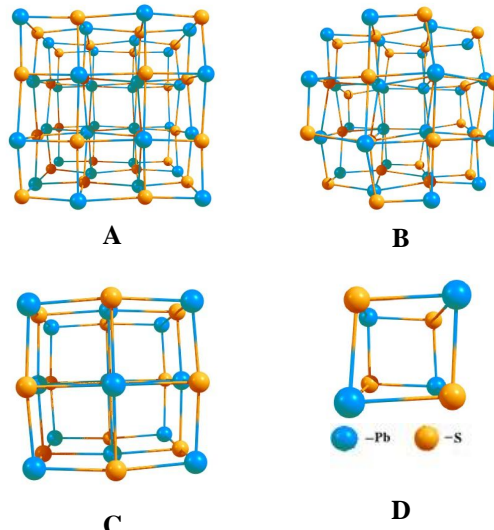


Рис. 1. Модель кластерів А ($Pb_{32}S_{32}$), В ($Pb_{28}S_{28}$), С ($Pb_{14}S_{13}$) і D (Pb_4S_4) для кубічної фази PbS.

складений із 8 трикоординованих атомів.

Першим кроком у нашому розрахунку було визначення таких кристалографічних параметрів утвореного кластера, при яких він мав мінімальну потенціальну енергію і максимально відповідав реальному розміщенню атомів у кристалі. Всі розрахунки починалися із SCF (Self-Consistent Field) процедури самоузгодження поля, оптимізації геометрії та наступного визначення стабільного мінімуму. Далі, із використанням отриманих кристалографічних параметрів, обчислювалися частоти коливань атомів. Розрахунки проводились з використанням теорії функціоналу густини і основ SBKJC параметризації. Обчислення термодинамічних параметрів проводили за допомогою пакету програм Firefly (PCGamess) в рамках теорії методу функціоналу густини (DFT), з використанням гібридного базисного набору валентних електронів B3LYP [13]. Візуалізація просторових структур здійснювалася з використанням Chemcraft.

Такий підхід дає можливість скласти систему рівнянь для термодинамічних величин обраних кластерів. Розв’язавши її, отримуємо значення цих параметрів для шестикоординованих атомів, з яких саме і складається кубічна структура NaCl.

III. Результати і обговорення

На рис. 2-4 представлено зміну енергії утворення ΔE , ентальпії утворення ΔH , вільної енергії Гіббса ΔG , ентропії ΔS та теплоємностей при сталому об’ємі C_V

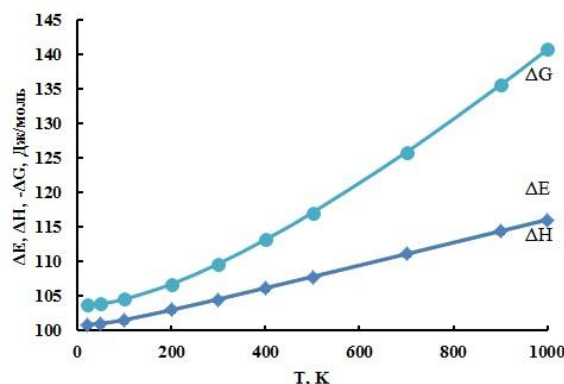


Рис. 2. Температурна залежність енергії ΔE та ентальпії утворення ΔH , енергії Гіббса ΔG для кубічних кристалів PbS.

та сталому тиску C_p для кристалів PbS при температурі від 20 К до 1000 К. Їх аналітичні вирази можна представити залежностями:

$$\Delta S(T) = 13,001 \cdot \ln T - 10,5 \quad (10)$$

$$\Delta G(T) = 100,17 + 0,0382 \cdot T \quad (11)$$

$$\Delta E(T) = 0,0158 \cdot T + 100,05 \quad (12)$$

$$\Delta H(T) = 0,0158 \cdot T + 100,05 \quad (13)$$

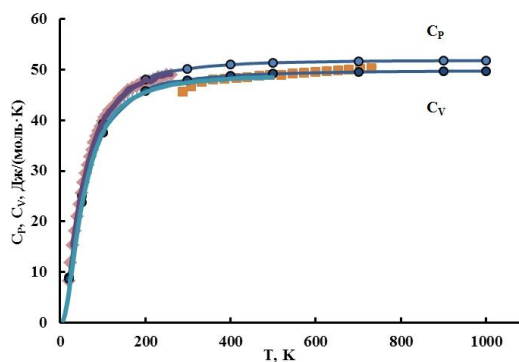


Рис. 3. Температурні залежності ізохорної C_v - □ та ізобарної C_p - ◊ теплоємностей та теоретичні розрахункові дані: — [1] ($T=0-300$ К) та — [3], [8] ($T=0-500$ К) і експериментальні значення C_p : ♦ - [9], ■ - [10]; для кубічних кристалів PbS.

Розраховані аналітичні вирази одержаних температурних залежностей теплоємностей при сталому об'ємі та тиску відповідно, які були апроксимовані із квантово-хімічних розрахункових точок за допомогою математичного пакету Maple 14, описуються наступними рівняннями:

$$C_v = 39,38 + 13,661 \cdot 10^{-3} T - 0,1312 \cdot 10^5 T^{-2}, \quad (14)$$

$$C_v = 41,315 + 13,910 \cdot 10^{-3} T - 0,1382 \cdot 10^5 T^{-2}. \quad (15)$$

Отримані значення теплоємностей при сталому об'ємі C_v та сталому тиску C_p при різних температурах відображені на рис. 3. Хорошим співпадінням із теоретичними даними можна вважати наближення отриманих розрахункових даних до класичного закону Дюонга і Пті. У низькотемпературному діапазоні отримані значення

пропорційні T^3 , що відповідає теорії Дебая. Також було здійснене порівняння результатів розрахунку із вимірюваними експериментальними значеннями.

Незначні відхилення від прямокутного взаємного положення граней спостерігалось також при моделюванні структури плюмбуум селеніду авторами [14], що використовували програму розрахунку GAUSSIAN 03 та SBKJC базисний набір. Такі результати не суперечать експериментальним даним, наведеним у [2], а також даним структурної карти у [15], де серед сполук халькогенідів плюмбуум PbS знаходиться на стороні кубічної структури поблизу границі між кубічною та орторомбічною модифікаціями.

Відхилення теоретично розрахованої рівноважної

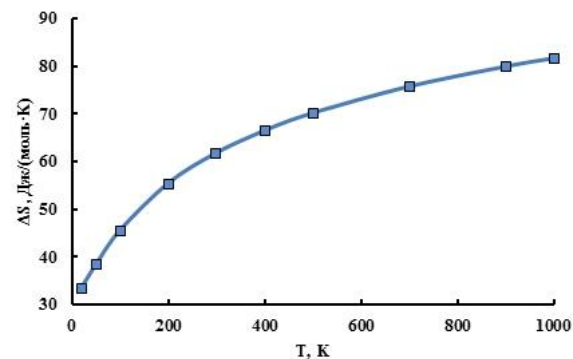


Рис. 4. Температурна залежність ентропії ΔS для кубічних кристалів PbS.

структурі від значень, характерних гратці типу кам'яної солі можна пояснити значним відхиленням граткового спектру від Дебаївського [16]. Суттєвим фактором, що стимулює фазовий перехід є іонність. Аналогічним впливом характеризується спін-орбітальна взаємодія, оскільки вона порушує конгруентність поверхні Фермі. Значення для халькогенідів свинцю велике, чим пояснюється відсутність переходів для цих сполук [17].

Висновки

- На основі кристалічної та електронної будови кубічного PbS, а також його фізико-хімічних властивостей запропоновано кластерні моделі і граничні умови для розрахунку термодинамічних параметрів.
- Визначено температурні залежності термодинамічних параметрів кристалів PbS: енергії утворення ΔE , ентальпії утворення ΔH , ентропії ΔS та енергії Гіббса ΔG , а також молярних теплоємностей при сталому об'ємі C_v та тиску C_p .
- Отримано хороше співпадіння отриманих результатів із аналогічними розрахунками та експериментальними даними.

«Робота виконана за підтримки відділу публічної дипломатії НАТО програми «Наука заради миру»

(NUKR, SEPP 984536)»

Волочанська Б.П. – аспірант кафедри фізики і хімії твердого тіла.

- [1] Y. Zhang, X. Ke, C. Chen, J. Yang, P.R.C. Kent, Thermodynamic properties of PbTe, PbSe, and PbS: First-principles study, Physical Review B 80, 024304 (2009).
- [2] Q. Sun, Y. Wang, X. Yuan, J. Han, Q. Ma, F. Li, H. Jin, Z. Liu, Cryst. Res. Technol. 48 (9), 627 (2013).
- [3] N. Boukhris, H. Meradji, S. Amara Korba, S. Drablia, S. Ghemid, F. El Haj Hassan, Bull. Mater. Sci., 37 (5), 1159 (2014).
- [4] N.M. Ravindra, V.K. Srivastava, Phys. Stat. Sol. (a) 58, 311 (1980).
- [5] S. A. Medvedev. Physics and chemistry of compounds AII BVI. Moscow, 1970
- [6] W.M. Haynes, CRC handbook of chemistry and physics: a ready-reference book of chemical and physical data, (CRC Press, Boca Raton, Fla, 2010).
- [7] Краткий справочник фізико-химических величин. Издание девятое / Под. ред.. А.А. Равделя и А.М. Пономаревой (Специальная литература Санкт-Петербург, 1998).
- [8] Y. Bencherif, A. Boukra, A. Zaoui, M. Ferhat, Infrared Physics & Technology 54, 39 (2011).
- [9] D.H. Parkinson, J.E. Quarrington, Proc. Phys. Soc. A 67, 569 (1954).
- [10] Y.-L. Pei, Y. Liu, Journal of Alloys and Compounds 514, 40 (2012).
- [11] Д.М. Фреїк, Т.О. Парашук, Б.П. Волочанська, Фізика і хімія твердого тіла 15 (2), 282 (2014).
- [12] D. Freik, T. Parashchuk, B. Volochanska, Journal of Crystal Growth, 402, 90 (2014).
- [13] R. Ahiska, D. Freik, T. Parashchuk, I. Gorichok, Turkish Journ. of Physics 38, 125 (2014).
- [14] B. Kiran, Anil K. Kandalam, R. Rallabandi, P. Koirala, X. Li, X. Tang, Y. Wang, H. Fairbrother, G. Gantefoer, K. Bowen, The Journal of Chemical Physics 136, 024317 (2012).
- [15] P.B. Littlewood, Physics of Narrow Gap Semiconductors. Proceedings of the 4th International Conference on Physics of Narrow Gap Semiconductors (Linz, Austria, 1981).
- [16] Л.Є. Шелимова, Неорганические материалы, 24 (10), 1597 (1988).
- [17] Б.А. Волков, О.А. Панкратов, Журнал експериментальной и теоретической физики, 75 (4), 1362 (1978).

B.P. Volochanska

Thermodynamic Parameters of Lead Sulfide Crystals in the Cubic Phase

Vasyl Stefanik Precarpathian National University
57, Shevchenko Str., Ivano-Frankivsk, 76018, Ukraine, E-mail: bvolochanska@i.ua

Geometric and thermodynamic parameters of cubic PbS crystals were obtained using the computer calculations of the thermodynamic parameters within density functional theory method DFT. Cluster models for the calculation were based on the analysis of the crystal and electronic structure. Temperature dependence of energy ΔE and ΔH enthalpy, Gibbs free energy ΔG , heat capacity at constant pressure C_p and volume C_v , entropy ΔS were determined on the basis of ab initio calculations of the crystal structure of molecular clusters. Analytical expressions of temperature dependences of thermodynamic parameters which were approximated with quantum-chemical calculation points using mathematical package Maple 14 were presented. Experimental results compared with theoretically calculated data.

Keywords: DFT, cluster models, quantum-chemical calculations, thermodynamic properties, semiconducting IV-VI materials, lead sulfide.